

2-4 簡単な平面ひずみ試験について

山口大学工学部 正員 大原賛生
○宮内 邦

1. まえがき

堤体や連続基礎のように、一様な断面の長い構造物の付近の土塊は平面ひずみ状態にあり、そのせん断破壊は構造物の長さ方向の変位を生じない状態での破壊である。しかし現在これらの設計において用いられる土の強度定数は必ずしも平面ひずみ条件での試験から求められているわけではない。したがって土の強度定数をできる限り実際の地盤中の状態に近づけるために1965年以後から数ヶ所の実験室でこの平面ひずみ条件でのせん断試験や試験機の試作等が行なわれ、それらの結果と現在実用化されている三軸試験の結果との比較などが発表されているが、その実験操作が非常にむづかしく試験機自体もかなり複雑な機構をもっていて、広く一般には実用化されていない状態である。

著者の実験室では1969年より従来の三軸試験を利用して比較的簡単に平面ひずみ圧縮試験を行ない、砂に関して一応の成果を収めだ。今回は、砂のせん断強度に最も影響を与えたと考えられる間けき比の値を変化させてせん断試験を行ない、その時の内部まさつ角ぬが平面ひずみ試験と三軸試験とでどのような対応関係をなしているかを比較検討した。その結果、一応期待どおりの実験結果をうることができたので、その方法および結果について述べる。

2. 試料

本実験に使用した試料は図-1に示す二種類の乾燥砂である。供試体の作成は後述の成形用モールドを用いた。均等係数から分るとあり粒のよくそろった砂である。

3. 実験装置

この実験では三軸試験機をほぞそのままの形で利用したので、三軸試験に関しては説明を省略し、平面ひずみ試験を行なうために変更した部分や特に使用した器具について述べる。

平面ひずみ試験の供試体は図-2に示したとおりである。ただし供試体の高さは所定の間けき比を得るために一定ではないが8.0cm以上とした。これは幅に対して長さおよび高さが2倍以上ということを考慮

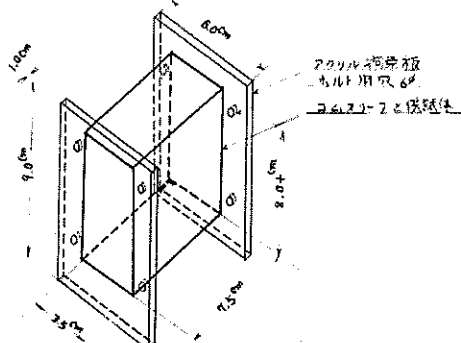
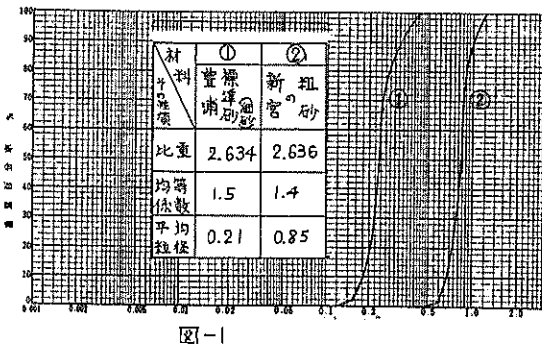


図-2

して定めた。 次に三軸室内での上、下加压板は供試体と接する面が 7.5×3.5 cm のものにとりかえて使用した。 それを図-3に示す。

図-2に示した拘束板はせん断中に供試体の長さ方向の変位を拘束するためのもので、厚さ1cm、縦9cm、横6cmの2枚のアクリル板からなり供試体を左右からはさみ、互いに凹側をボルト、ナットで緊結して使用するものである。供試体成形用のモールドは内側にポーラスメタルが張ってあり、乾燥砂等の試料の場合には、モールドの内面にゴムスリーブを張って、モールドの支管を真圧に連結し、ゴムスリーブをモールド内壁に密着させて後、砂を入れて供試体を作成するのに用いる。

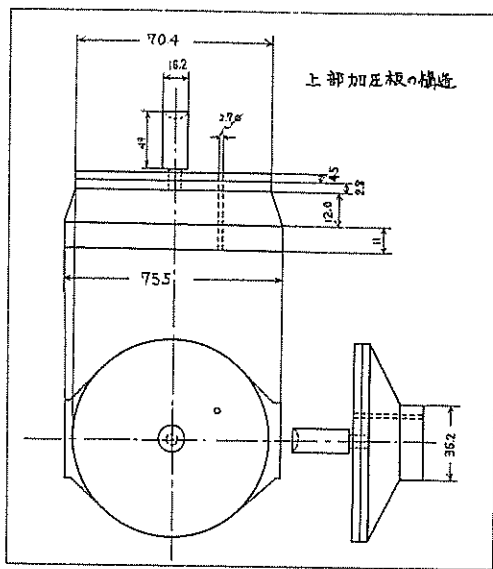


図-3

4. 実験方法

まず成形用モールドを下部加压板の上に立て、その中にゴムスリーブを入れ、モールドの枝管を真圧につないでゴムスリーブをモールドの内面に密着させた。その際、スリーブにしみかできないようにする。次に所定の間けき比にはさむように約8cmの高さまで砂を入れ、場合によつては振動機で側方から振動を与えた。上部表面にも滤紙を敷き、上部加压板をとりつけ輪ゴムでスリーブを加压板に緊結し、供試体内部を所定の負圧にして供試体が自立するようにして後にモールドをはずす。供試体の寸法を測定する。次に中間主応力方向のひずみ拘束板をとりつけたが、アクリル板と供試体すなはちゴムスリーブとの接触面にはシリコングリスを塗り、拘束板面に平行な方向の供試体の変形が拘束板とゴムスリーブとの間のまさつによって拘束されないようにした。本実験では三軸、平面ひずみ試験とともに圧縮速度は1mm/minとした。

5. 実験結果

図-4は本実験で得られた応力-ひずみ曲線の一例である。縦軸に主応力差($\sigma_1 - \sigma_3$) kg/cm²、横軸に軸方向圧縮ひずみ ϵ をとつて整理したものである。実線は平面ひずみ試験の結果で、破線は三軸試験の結果である。この図からいえることは、平面ひずみの破壊ひずみ量は三軸試験のそれよりも小さく、破壊点における主応力差のピーク値のあらわし方も顕著で、しかもその値は平面ひずみ試験の方が大であることがある。次に図-5は本実験で行なった結果の一節で、細砂と粗砂についてそれが $\sigma_3 = 0.9$ kg/cm²における平面ひずみ試験と三軸試験との結果が間けき比とどのような関係にある。

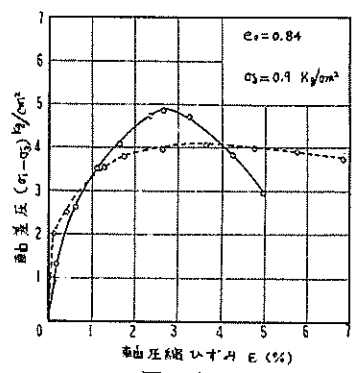


図-4

3かをピックアップして明示したものである。

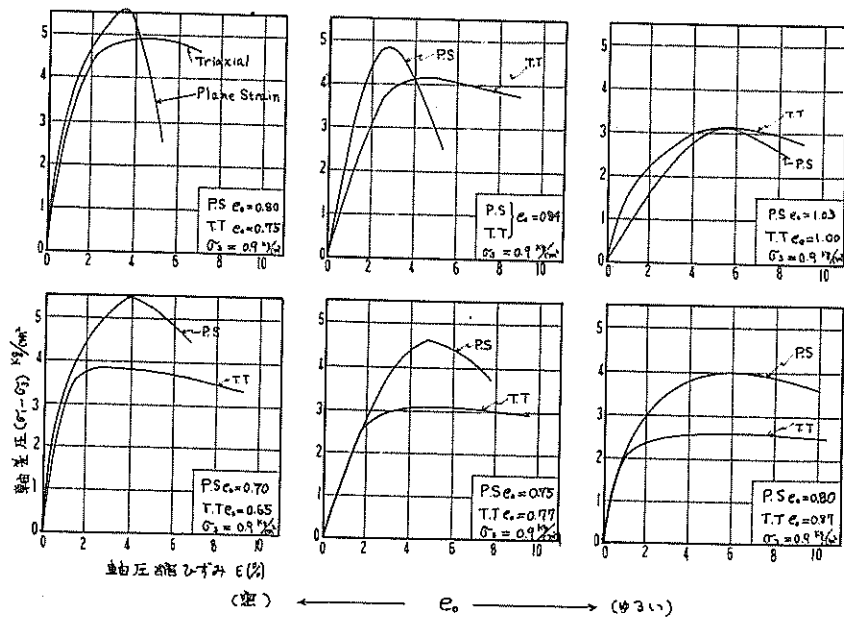


図-5

図-5で、それぞれの開けき比はかなり一致していないが、密な状態のものを左側に、ゆるい状態のものを右側に示してある。この図から砂の状態が実行ものからゆるいものになるにしたがって破壊ひずみ量は大きくなることがわかる。

図-6は内川の他のせん断試験から得た内部まさつ角-初期開けき比の関係である。
細砂、粗砂とともに平面ひずみ試験、三軸試験において同一初期開けき比のもとで3回以上の実験を行ない、かつ3種類の初期開けき比についてこの値を記入したものである。
当然のことながら本実験においても細砂、粗砂のいずれの場合も、初期開けき比が大きくなるにつれて、すなわち、ゆるい状態にならざつて破壊時の内部まさつ角が小さくなることを示した。

図-6から①同一初期開けき比のもとでは、平面ひずみ試験から得られた内部まさつ角は三軸試験のそれよりもいくらくらい大きい。②両者の差は初期開けき比が小さい場合が大きく、初期開けき比が大きくなるにつれて小さくなることがある。このことは、より開けき比の小さなもののほど砂粒子間のまさつ抵抗が大きくなることに帰因しており、これまでの報告もこのことに言及しているが、さらにそのまさつ抵抗を決定する要素のうちで砂粒子の淘汰のされ方の複合がせん断特性の定量的反映

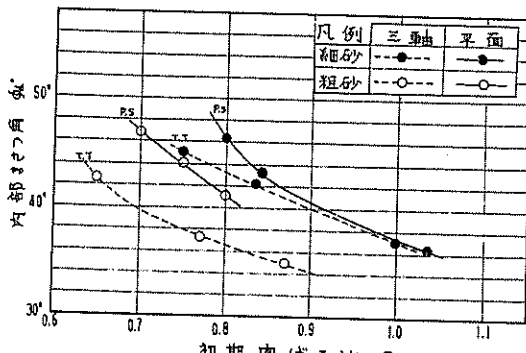


図-6

い方によりよい指針を与えたものと考えられる。

次に図-7において平面ひずみ試験と三軸試験とのそれぞれの破壊時の軸ひずみ E_f の大きさを比較して示した。これより内かくように平面ひずみ試験での破壊ひずみ量 ϵ_{fP} が三軸試験での破壊ひずみ量 ϵ_{fT} より大きくなつた例は一つもない。この図から平面ひずみ試験の破壊ひずみ量は三軸試験のそれの約 65% 程度となつてゐることがわかる。

6. 結論

以上述べたように著者等が現在使用している三軸試験機を利用しての平面ひずみ試験を行なつてみた。その結果、上、下の加圧板をかえることや拘束板やモールド等を用意することだけで比較的容易に平面ひずみ試験を行なうことができた。そして、実験結果も他所で現在までに行なわれた平面ひずみ試験の結果ともよく一致する結果が得られた。結果を要約すると

- 1) 平面ひずみ試験より得られた乾燥砂の内部まさつ角は三軸試験より得られたそれよりも數度大きく、両者の差は初期間けき比が小さいほど大きい。
- 2) 主応力差一ひずみ曲線において、平面ひずみ試験の方がピーク値が高く、かつピークの表れ方が明瞭である。
- 3) 平面ひずみ試験の破壊時の軸ひずみ量は三軸試験のそれよりも小さく、その減少割合は、細砂の方が粗砂にくらべて大きい。

わりにこの実験については細砂、粗砂とともに粒径のよくそろつたものを使用したものであつて、砂粒子の基本的要素のうちの粒度組成に重きを置いて行なつてあり、集合状態での砂粒子は図-1に示したとおりのよくまとまつた状態のものであつて、基礎的実験であることを付記する。

参考文献

- ・大原資生；平面ひずみ状態でのせん断試験、山口大学工学部研究報告、第21巻、1号、1970 pp.47-51
- ・Kenneth L. Lee；Comparison of Plane Strain and Triaxial Test on Sand, Jour. Soil Mech. Found. Div. No. SM 3, 1970 pp.801~923
- ・中瀬明男；土のせん断、土質力学(技報堂)最上武男編著、第5章 1969, pp.479~622
- ・小田匡寛、榎木文男、鈴木正；砂粒子の形状、組成が砂の土質力学的性質に及ぼす影響に関する研究、土と基礎、第19巻、2号、1971, pp.5~21

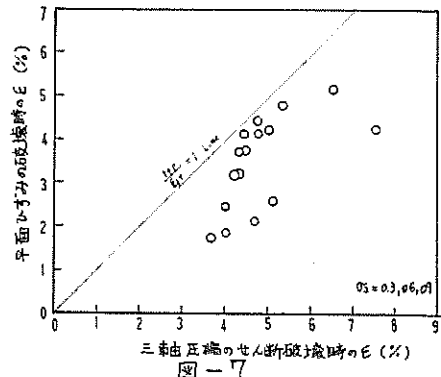


図-7